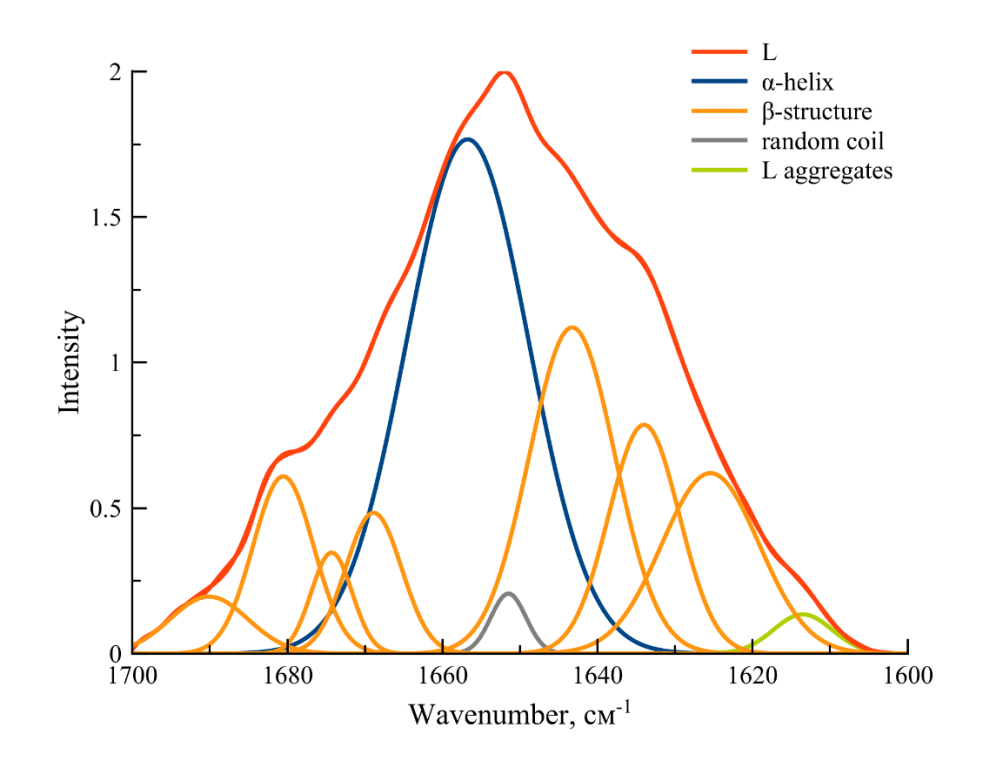
#### ДОПОЛНИТЕЛЬНЫЕ МАТЕРИАЛЫ

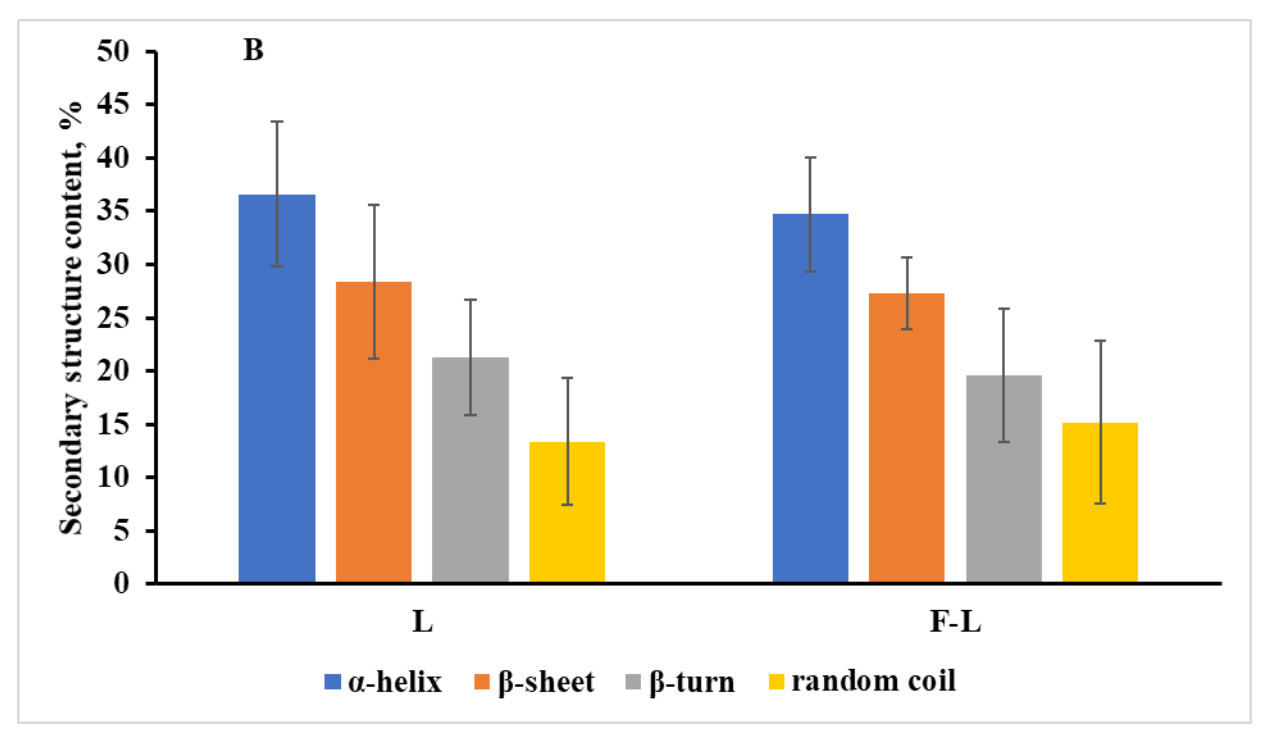
Мосиевич Д.В., Балабушевич Н.Г., Мишин П.И., Ле-Дейген И.М., Филатова Л.Ю., Панасенко О.М., Мурина М.А., Вахрушева Т.В., Баринов Н.А., Побегуц О.В., Галямина М.А., Горудко И.В., Григорьева Д.В., Пашкевич К.Ф., Соколов А.В., Михальчик Е.В. (2025) Функциональные особенности комплексов лактоферрина и фукоидана в модельных системах in vitro. Биомедицинская химия, **71**(5), 333-341.

DOI: 10.18097/PBMCR1613

### 1. IR spectroscopy of lactoferrin

A





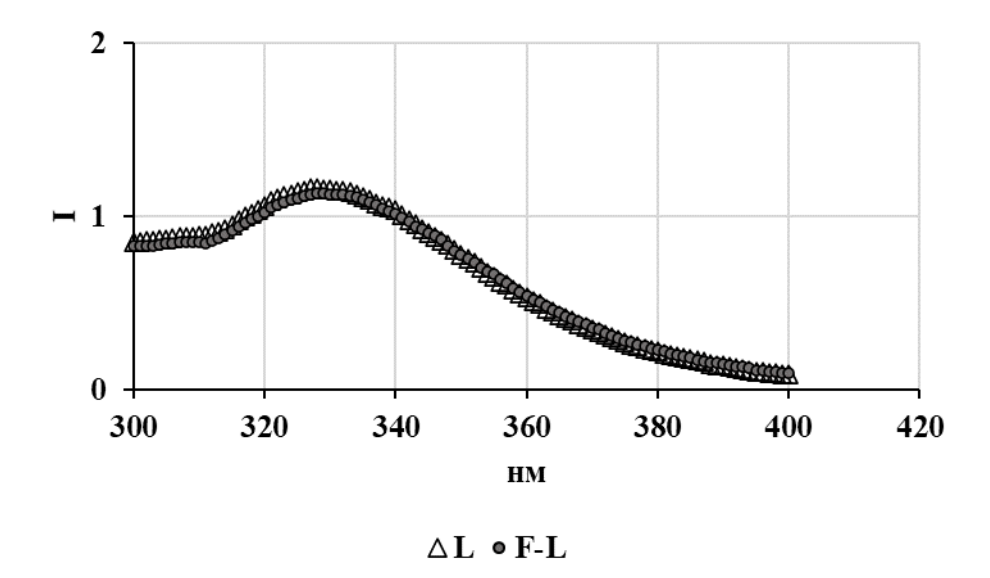
**Рисунок S1**. А, Б. Пример деконволюции спектров полосы Амид I для лактоферрина по данным ИК-спектроскопии (А) и характеристика вторичной структуры лактоферрина в комплексе с фукоиданом (Б) при концентрации лактоферрина 2,5 мг/мл, 0,05 М трисбуфере, рН 7,4.

Полосу поглощения Амид I 1600-1700 см<sup>-1</sup> подвергали процедуре деконволюции по процедуре описанной [Yang H.]. Для этого спектры, полученные с помощью ИК-Фурье спектроскопии, подвергались корректировки базовой линии и сглаживанию, далее участок спектра, соответствующий области 1600-1700 см<sup>-1</sup>, подвергался аппроксимации функцией Гаусса с помощью алгоритма Левенберга-Маквардта. Определение начальных пиков и их соотнесение со вторичными структурами делали по данным работы [Yang H.]. Сумма значений всех площадей пиков поглощения, соответствующих α-спиралям, β-структурам и неупорядоченным структурам, принималось за 100%. Максимум компоненты, соответствующей α-спиралям, лежит в интервале от 1653 до 1656 см<sup>-1</sup>, неупорядоченным структурам — от 1647 до 1651 см<sup>-1</sup>; компоненты, соответствующие β-поворотам — от 1665 до 1668, от 1674 до 1677 см<sup>-1</sup>, от 1679 до 1686 см<sup>-1</sup>, а β-листам — от 1623 до 1624 см<sup>-1</sup>, от 1633 до 1639 см<sup>-1</sup>, от 1641 до 1643 см<sup>-1</sup>.

Таким образом, в молекуле лактоферрина анализ вторичной структуры выявил наличие: α-спирали 36 %, β-листов 30 %, β-поворотов 20 и неупорядоченных структур (рандом) 14 %. Образование полиэлектролитного комплекса Ф-Л в результате инкубации лактоферрина с фукоиданом при массовом соотношеним 1:1 в течение 30 мин не приводило к значительному разворачиванию молекулы белка.

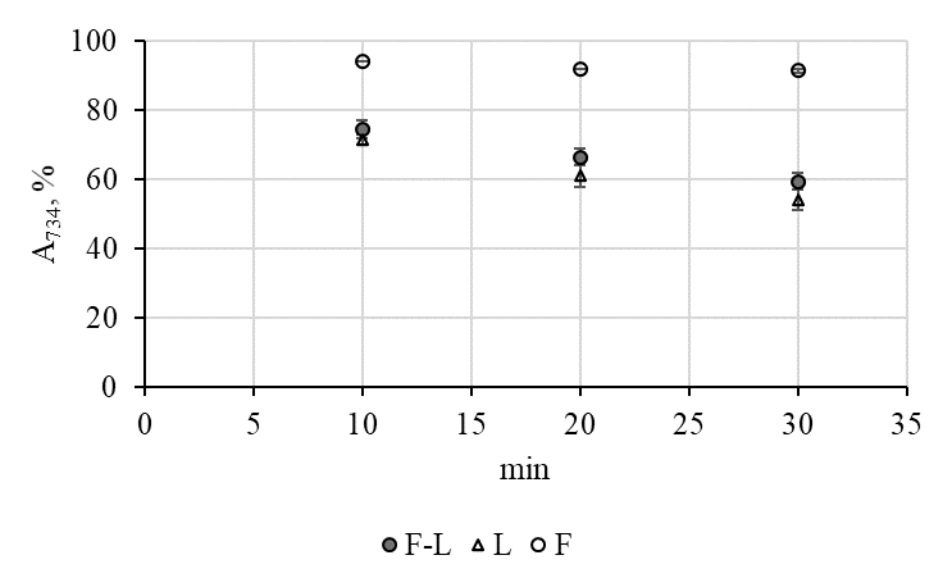
\*Yang H. et al. Obtaining information about protein secondary structures in aqueous solution using Fourier transform IR spectroscopy //Nature protocols. − 2015. − T. 10. − №. 3. − C. 382-396.

### 2. Tryptophan fluorescence of lactoferrin



**Рисунок S2**. Спектры флуоресценции триптофана (длина волны возбуждения 280 нм) в растворе лактоферрина (Л) и в комплексе Ф-Л. Представлены средние значения 7 измерений.

# 3. ABTS-radical scavenging activity of fucoidan (F), lactoferrin (L) and F-L complex in 50 mM tris-HCl buffer at each component's concentration 0.5 mg mL<sup>-1</sup>.



**Рисунок S3**. Динамика снижения поглощения раствора радикала ABTS в 50 мМ трис-HCl

буфере (pH 7,4) под действием фукоидана ( $\Phi$ ), лактоферрина ( $\Pi$ ) и их комплекса  $\Phi$ - $\Pi$ .

Концентрация каждого компонента составляла 0,5 мг/мл.

Достоверных различий между лактоферрином и комплексом Ф-Л по данным четырех независимых экспериментов не выявлено.

## 4. Anticoagulant activity: effects of lactoferrin on fucoidan anticoagulant properties according to the assay of thrombin and prothrombin time.

Для определения протромбинового времени (ПВ) к 100 мкл бестромбоцитарной плазмы (БТП) добавляли фукоидан, лактоферрин или их комплекс в необходимой концентрации, инкубировали в течение 2 мин при 37 °C, затем вносили 200 мкл тромбопластин-кальциевой смеси, прогретой при 37 °C, и фиксировали время образования сгустка. Измерения были проведены на коагулометре СОЛАР СGL 2110 (Беларусь). Для определения ПВ использовали набор «Тромбопластин» НПО «Ренам» (Россия).

Для определения тромбинового времени (ТВ) к 150 мкл БТП добавляли фукоидан, лактоферрин или их комплекс в необходимой концентрации, инкубировали в течение 2 мин при 37 °C, затем вносили 150 мкл рабочего раствора тромбин-реагента и фиксировали время образования сгустка. Измерения были проведены на коагулометре СОЛАР СGL 2110 (Беларусь). Для определения ТВ использовали набор «Тромбин-реагент» НПО «Ренам» (Россия).

А

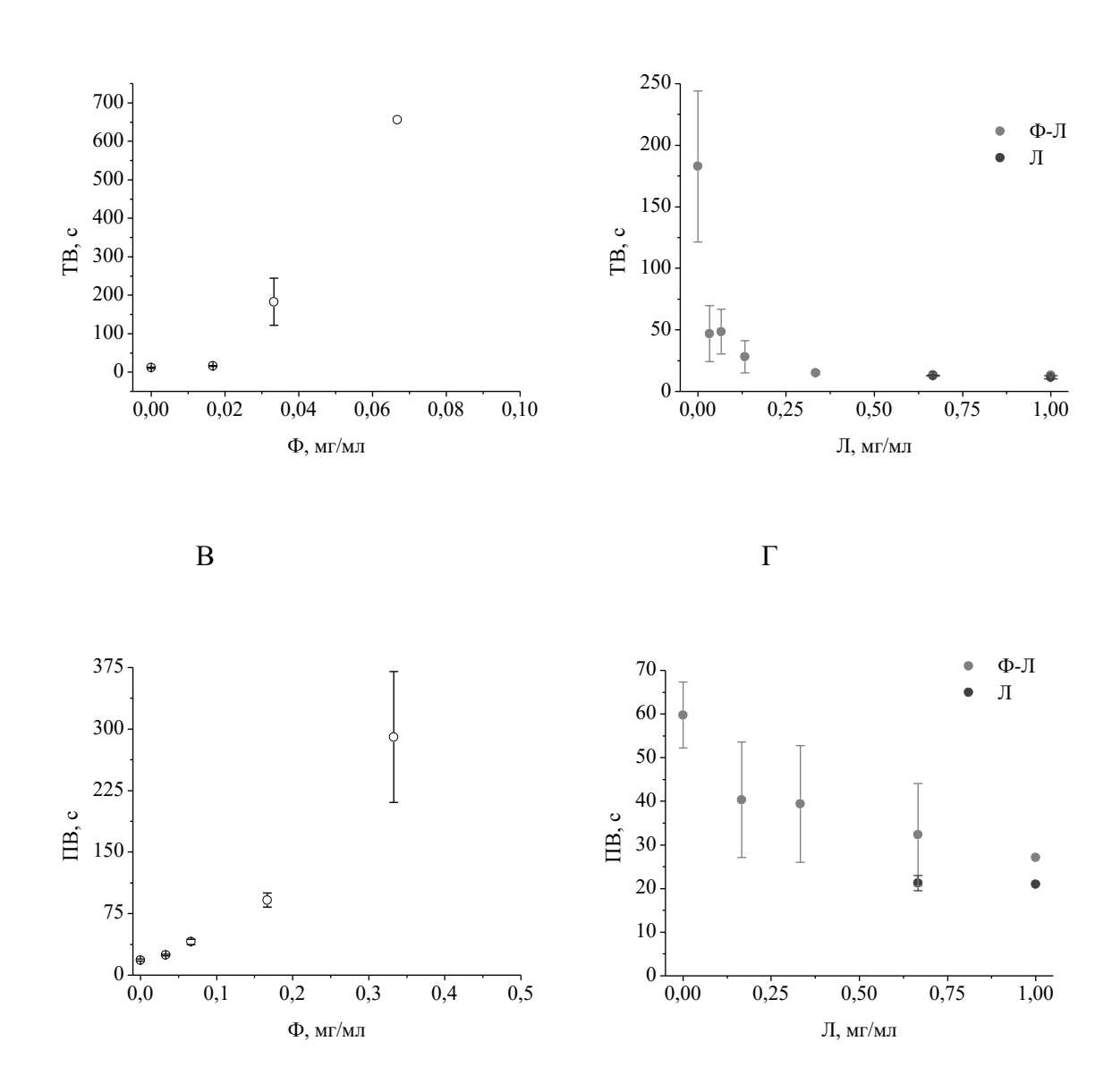


Рисунок **S4**. Зависимость тромбинового времени (ТВ): А – от концентрации фукоидана (Ф), Б – от концентрации лактоферрина (Л) отдельно и в комплексе с 0,033 мг/мл фукоидана (Ф-Л) и зависимость протромбинового времени (ПВ): В – от концентрации фукоидана (Ф),  $\Gamma$  – от концентрации лактоферрина (Л) отдельно и в комплексе с 0,167 мг/мл фукоидана (Ф-Л).